

Tepelná kapacita

$$C_x = \left(\frac{dQ}{dT} \right)_x = T \left(\frac{dS}{dT} \right)_x$$

$$C_V = \left(\frac{dU}{dT} \right)_V$$

Dulong-Petitovo pravidlo: $U = 3kTN \Rightarrow C_V = 3kN$

Tepelná kapacita mřížky

Oscilátor s kvantovanou energií $E_n = (n + \frac{1}{2}) h\nu$ má střední hodnotu energie (po označení $x = h\nu/kT$)

$$\bar{E} = \frac{\sum E_n e^{-E_n/kT}}{\sum e^{-E_n/kT}} = \frac{1}{2}h\nu + h\nu \frac{\sum n e^{-nx}}{\sum e^{-nx}}$$

Použitím

$$\frac{\sum n e^{-nx}}{\sum e^{-nx}} = -\frac{d}{dx} \left(\ln \sum e^{-nx} \right) = -\frac{d}{dx} \left(\ln \frac{1}{1 - e^{-x}} \right) = \frac{1}{e^x - 1}$$

dostaneme

$$\bar{E} = \frac{1}{2}h\nu + \frac{h\nu}{e^{h\nu/kT} - 1}$$

Einsteinův výpočet (1907): Soustava N nezávislých oscilátorů se stejnou vlastní frekvencí má vnitřní energii $U = 3N\bar{E}$, jejíž derivací získáme tepelnou kapacitu

$$C_V = \frac{dU}{dT} = 3Nk \left(\frac{h\nu}{kT} \right)^2 \frac{e^{h\nu/kT}}{(e^{h\nu/kT} - 1)^2}$$

Tento jednoduchý výpočet sice ukazuje, že tepelná kapacita musí za nízkých teplot klesat k nule, průběh spočítaného poklesu ale neodpovídá realitě.

Debye počítal s tím, že excitacemi krystalové mřížky jsou stojaté vlny s maximální frekvencí ν_D . Počet vln $g(\nu)d\nu$ v oblasti frekvencí mezi ν a $\nu + d\nu$ je přímo úměrný ν^2 . Debyeova frekvence ν_D je definovaná vztahem

$$\int_0^{\nu_D} g(\nu) d\nu = 3N$$

(N je počet atomů mřížky). Po spočítání vnitřní energie

$$U = \int_0^{\nu_D} \bar{E} g(\nu) d\nu = \frac{9}{8} N h \nu_D + \frac{9N}{\nu_D^3} h \int_0^{\nu_D} \frac{\nu^3 d\nu}{e^{h\nu/kT} - 1}$$

a její derivaci vychází

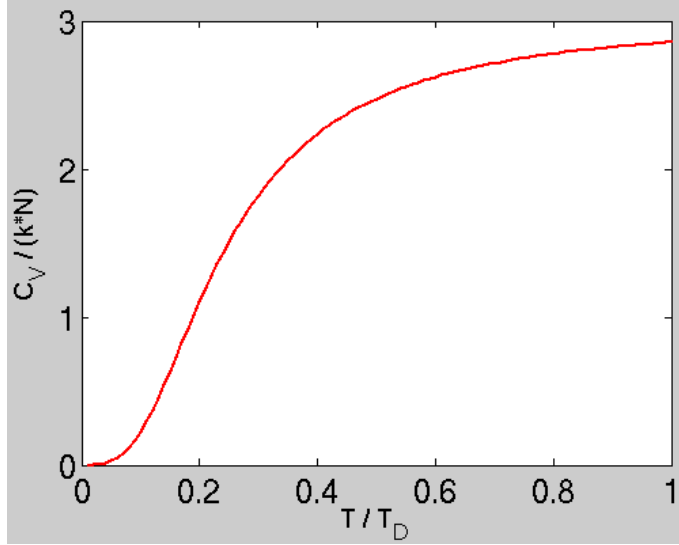
$$C_V = 9kN \left(\frac{T}{T_D} \right)^3 \int_0^{\frac{T_D}{T}} \frac{x^4 e^x}{(e^x - 1)^2} dx,$$

kde $T_D = h\nu_D/k$ se nazývá Debyeova teplota. Pro nízké teploty platí limita

$$C_V \propto \left(\frac{T}{T_D}\right)^3,$$

pro vysoké teploty $C_V \xrightarrow{T \rightarrow \infty} 3kN$. Nedokonalosti modelu lze částečně odstranit tím, že se Debyeova teplota považuje za funkci teploty.

Born a von Kármán doplnili Debyeův model tím, že započítali rozdílnou rychlosť podélných a příčných fononů. Blackman a Parkinson dále započítali i interakce mezi vzdálenějšími atomy.



Tepelná kapacita mřížky spočítaná podle Debyeova modelu.

Tepelnou kapacitu ovlivňuje také povrch krystalu, přítomnost vakancí a intersticiálů, dislokací nebo např. usporádávání struktury slitin. Například vliv bodových poruch s energií E_p a hustotou

$$\varrho = \varrho_0 e^{-\frac{E_p}{kT}}$$

způsobí příspěvek k tepelné kapacitě

$$C = \frac{d(\varrho E_p)}{dT} = \varrho_0 \frac{E_p^2}{kT^2} e^{-\frac{E_p}{kT}}$$

Tepelná kapacita vodivostních elektronů

Elektrony se řídí Fermi-Diracovou statistikou. Pro jejich střední energii proto platí přibližně

$$U \propto \int_0^{\infty} E \frac{\sqrt{E} dE}{e^{\frac{E-\mu}{kT}} + 1}$$

Za dostatečně nízkých (i pokojových) teplot platí pro jejich tepelnou kapacitu

$$C = \frac{dU}{dT} \propto T$$

Jiné příspěvky k tepelné kapacitě

V magnetických materiálech přispívá k tepelné kapacitě také excitace magnonů. Za velmi nízkých teplot je často dominantní tepelná kapacita způsobená interakcí jader s jejich okolím. Tepelná kapacita způsobená existencí několika diskrétních energiových hladin se obecně nazývá Schottkyho příspěvek k tepelné kapacitě. Ten lze jednoduše spočítat pomocí vnitřní energie Schottkyho systému

$$U = \sum_i n_i E_i$$

$$n_i = N \frac{e^{-E_i/kT}}{\sum_i e^{-E_i/kT}}$$

kde E_i je energie i -té hladiny, n_i její populace a N celkový počet částic. V případě nejjednoduššího systému dvou hladin oddělených energií E dostaneme

$$U = EN \frac{e^{-E/kT}}{1 + e^{-E/kT}} = \frac{EN}{e^{E/kT} + 1}$$

$$C = \frac{dU}{dT} = N \frac{E^2}{kT^2} \frac{e^{E/kT}}{(e^{E/kT} + 1)^2}$$

Zejména v amorfních látkách se může projevit časová závislost měrné tepelné kapacity, jev svázaný s relaxací ochlazené látky. Při ochlazení může látka zůstat v metastabilním stavu, který během času přechází do nižšího stavu a uvolněná energie vzorek ohřívá.

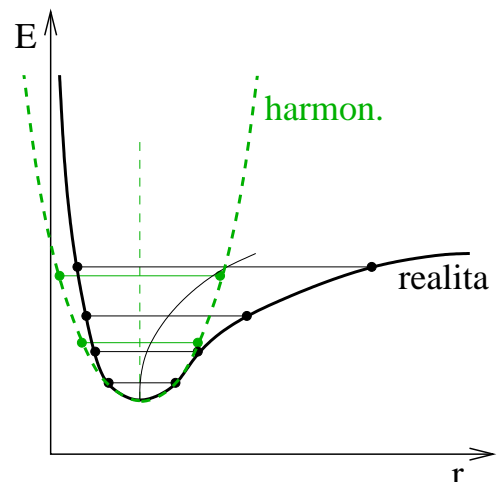
Tepelná roztažnost

Tepelná roztažnost je způsobena anharmonicitou kmitů mřížky a také (slabším) vlivem elektronů. Tepelná roztažnost se popisuje koeficientem lineární tepelné roztažnosti

$$\alpha = \frac{1}{3V} \frac{dV}{dT},$$

který je funkcí teploty:

$$\alpha = c_1 T^3 + c_2 T.$$



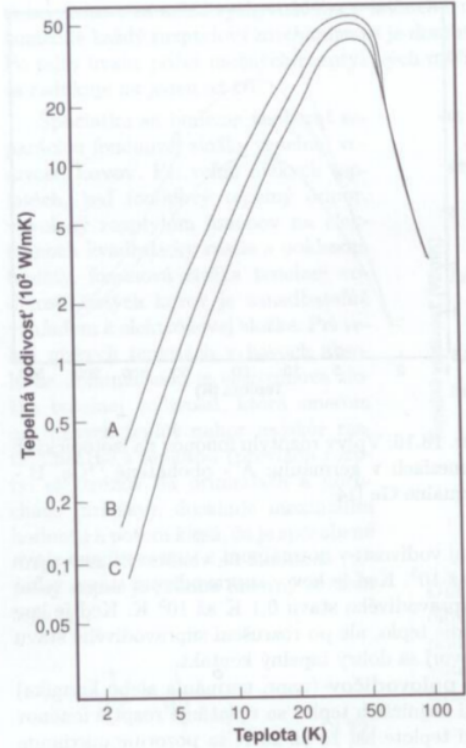
Tepelná vodivost

$$\begin{aligned}
 \vec{j}_Q &= -\lambda \vec{\nabla} T & \lambda &\text{ je tepelná vodivost} \\
 R &= \frac{1}{\lambda} & &\text{tepelný odpor} \\
 \lambda &= \lambda_F + \lambda_e & &\text{fononová a elektronová vodivost} \\
 \frac{1}{\lambda_F} &= \sum_i R_{Fi} = \sum_i \frac{1}{\lambda_{Fi}} \\
 \frac{1}{\lambda_e} &= \sum_i R_{ei} = \sum_i \frac{1}{\lambda_{ei}}
 \end{aligned}$$

Každá ze složek (R_i) tepelného odporu je způsobena konkrétním srážkovým procesem, který brzdí přenos energie fonony, elektrony, event. magnony. Často lze pro konkrétní rozptylový proces použít vztah odvozený z kinetické teorie plynů $\lambda_i = \frac{1}{3}c_v v l_i$, kde c_v je tepelná kapacita jednotkového objemu plynu, v střední velikost rychlosi částic plynu a l_i střední volná dráha částic mezi srážkami i -tého typu.

Přenos tepla fonony je zpomalován srážkami fononů s povrchem vzorku a hranicemi krystalových zrn, srážkami s příměsemi a nečistotami a prostřednictvím tzv. reverzních procesů (U-procesů) i srážkami s ostatními fonony. Dále se uplatňují srážky s vodivostními elektrony, dislokacemi, vakancemi, intersticiály atd.

Pomocí zmíněného vztahu $\lambda_i = \frac{1}{3}c_v v l_i$ lze odvodit, že tepelný odpor způsobený rozptylem fononů na povrchu a hranicích zrn je přímo úměrný T^{-3} , protože tepelná kapacita fononů je úměrná T^3 a rychlosi fononů ani rozměry látky na teplotě prakticky nezávisejí. Normální srážky fononů s fonony nemají na tepelnou vodivost přímý vliv, protože při nich nedochází ke změně toku hybnosti. Pokud je ale celková hybnost srážejících se fononů dostatečně velká, může dojít k reverznímu procesu a část hybnosti je předána krystalové mřížce jako celku. Pravděpodobnost srážky s fononem s dostatečnou hybností je za nízkých teplot úměrná $e^{-\varepsilon/T}$ a za vysokých teplot T^4 . Za nízkých teplot bude proto tepelný odpor způsobený fonon-fononovými srážkami přibližně úměrný $T^{-3} e^{-\varepsilon/T}$, za vysokých teplot bude přímo úměrný teplotě T .



Závislost tepelné vodivosti safíru na teplotě pro tři různé průměry vzorku (A: 3 mm, B: 1,55 mm, C: 1,02 mm).

Převzato z L. Skrbek a kol.: Fyzika nízkých teplot, Matfyzpress, 2011.

Výpočet teplotní závislosti tepelného odporu pocházejícího od srážek fononů s příměsemi, vakancemi a intersticiály je obtížnější, protože pravděpodobnost rozptylu silně závisí na vlnové délce fononu. Přibližně ale platí, že tento příspěvek tepelného odporu je úměrný $T^{3/2}$.

Vidíme tedy, že za nízkých teplot je tepelná vodivost fononů omezena rozptylem na površích, zatímco za vysokých teplot ji omezují rozptyly na bodových poruchách a fononech. Z toho vyplývá nemonotonní závislost tepelné vodivosti na teplotě s maximem, viz obr.

Za nízkých teplot je výraznou překážkou vedení tepla fonony tzv. **Kapicův odpor**. Jde o tepelný odpor rozhraní dvou materiálů lišících se rychlosťí zvuku. Od takového rozhraní se může většina fononů odrazit a nepřispěje proto k vedení tepla do sousedního materiálu. Přibližně platí

$$r_K = \frac{\Delta T S}{\dot{Q}} \propto T^{-3}$$

kde r_K je měrný Kapicův odpor, ΔT rozdíl teplot obou materiálů, \dot{Q} tok tepla rozhraním a S plocha rozhraní.

Dominantními procesy omezujícími **tepelnou vodivost elektronů** jsou rozptyl elektronů na bodových poruchách (příměsích a pod.) a rozptyl elektronů na fononech. Protože tepelná kapacita elektronů je přímo úměrná teplotě, je odpor způsobený příměsemi nepřímo úměrný teplotě, zatímco odpor vyvolaný srážkami s fonony roste s druhou mocninou teploty. I pro tepelnou vodivost elektronů tak dostáváme teplotní závislost vykazující maximum v oblasti relativně nízkých teplot.

Pro některé teploty lze tepelnou vodivost elektronů spočítat z elektrické vodivosti (σ) podle Wiedemannova-Franzova zákona

$$\frac{\lambda}{\sigma T} = L_0 \approx 2.5 \cdot 10^{-8} \frac{\text{W}\Omega}{\text{K}^2}$$

Tepelná vodivost elektronů prudce poklesne při přechodu kovu do supravodivého stavu, čehož se využívá při konstrukci tepelných klíčů.